



RELATÓRIO TÉCNICO

Alexandre Natã Vicente
Antônio Cláudio Almeida
Cyd Ferreira Rodrigues
David Catherink
Marcelo Macedo Klotz

Sumário

1	Sobre o relatório.....	3
2	Introdução.....	4
2.1	Links relacionados	4
3	Discussões da análise exploratória	5
4	Estratégias de pré-processamento.	6
5	Modelos utilizados.....	7
6	Resultados e interpretação dos dados	8
6.1	Otimização de Hiperparâmetros.....	11
6.2	Produção do modelo final e interpretação.....	11
7	Considerações Finais e Aplicabilidade Prática	15

1 Sobre o relatório

Este relatório integra o **Tech Challenge** da primeira fase da Pós-Tech em IA para Desenvolvedores (8IADT) da **FIAP**. O projeto consiste no desenvolvimento de uma solução de Inteligência Artificial para o processamento de exames e documentos clínicos. Utilizando fundamentos de **Machine Learning** e **Visão Computacional**, o objetivo central é o auxílio no diagnóstico de câncer de mama, diferenciando tumores malignos de benignos.

O grupo responsável pelo desafio é composto pelos seguintes integrantes da **Secretaria de Segurança Pública do Distrito Federal (SSP/DF)**:

- Alexandre Natã Vicente (**rm370024**) (ale.n.vicente@gmail.com)
- Antônio Cláudio Almeida (**rm370052**) (antonioalmeida@gmail.com)
- Cyd Ferreira Rodrigues (**rm370004**) (cydnelson@gmail.com)
- David Catherink (**rm369997**) (d.catherinck@gmail.com)
- Marcelo Macedo Klotz (**rm370010**) (marceloklotz@gmail.com)

2 Introdução

O presente relatório técnico descreve o desenvolvimento de um modelo de Aprendizado de Máquina supervisionado aplicado ao diagnóstico de câncer de mama. O trabalho possui um escopo acadêmico e diversos passos realizados e mantidos para fins acadêmicos.

O banco de dados escolhido foi o [*Breast Cancer Wisconsin* \(via Kaggle\)](#), o qual contém atributos morfológicos extraídos de imagens digitalizadas de biópsias de tumores de mama. O problema abordado é de classificação binária, distinguindo tumores benignos e malignos. Neste cenário, erros do tipo falso negativo possuem elevado custo clínico.

2.1 Links relacionados

Os arquivos relacionados a este desafio podem ser acessados por meio dos seguintes endereços eletrônicos:

- **Github:** <https://github.com/marceloklotz/breast-cancer-fiap/>
- **Notebook:** https://github.com/marceloklotz/breast-cancer-fiap/blob/main/FIAP_Challenge_Breast_Cancer.ipynb
- **Base de dados (*Breast Cancer Wisconsin* via [Kaggle](#)):**
<https://github.com/marceloklotz/breast-cancer-fiap/blob/main/breast-cancer.csv>
- **Vídeo explicativo:** https://www.youtube.com/watch?v=8BE0_HIzjS8

3 Discussões da análise exploratória

Na análise exploratória foram utilizadas, dentre outras, as seguintes técnicas: análise das estatísticas descritivas – média, desvio padrão e quartis, histograma de distribuição, matriz de correlação e sua visualização como tabela e mapa de calor, gráficos violin e gráficos de dispersão.

A base de dados é composta por 569 observações e 32 colunas, sendo 30 variáveis numéricas contínuas, uma variável alvo (*diagnosis*) e uma coluna com a identificação da linha – “id”. Não foram identificados valores ausentes, o que assegura consistência estatística e elimina a necessidade de técnicas de imputação.

Observou-se significativa **disparidade de escala entre as variáveis**, com atributos como *area_mean* apresentando valores de ordem de magnitude muito superiores a variáveis como *fractal_dimension_mean* (valores máximos respectivos: 2501 e 0,1).

Assim, se torna relevante aplicação de padronização, especialmente para modelos sensíveis à escala, como o KNN e Redes Neurais e para aplicação de PCA para redução de dimensionalidade.

A variável de interesse, *diagnosis*, é uma variável categórica, com classes Maligno (M) e Benigno (B), que foram codificadas respectivamente para 1 e 0. Observou-se um **leve desbalanceamento entre as classes**, com aproximadamente 62,7% de tumores benignos e 37,3% de tumores malignos.

Da análise das correlações, verificou-se que:

- a) características como *concave points_worst* (pior pontos côncavos) e *perimeter_worst* (pior perímetro) mostram que tumores malignos tendem a ser significativamente maiores e irregulares.
- b) há a altíssima correlação, próximo de 1, entre as features de tamanho (*radius*, *perimeter*, *area*) nas suas versões *mean*, *se* e *worst*. Modelos lineares podem ser afetados por esta multicolinearidade.

4 Estratégias de pré-processamento.

Diante das características observadas na Análise Exploratória de Dados (EDA), foram adotadas as seguintes estratégias de pré-processamento:

- a) descartada a coluna *id*.
- b) codificação da variável categórica alvo (*diagnosis*) em Maligno (M) para 1 e Benigno (B) para 0.
- c) padronização das variáveis por meio do *StandardScaler*, transformando cada atributo segundo a equação $z = (x - \mu) / \sigma$, ou seja, tornando todos com média zero e desvio padrão 1. A **padronização das variáveis foi aplicada apenas no conjunto de treino**, evitando-se o chamado *data leak* (uso de informação do conjunto de teste no treinamento do modelo).
- d) aplicação da Análise de Componentes Principais (PCA) a fim de reduzir a dimensionalidade. Utilizou-se 95% da variância explicada. O PCA também foi aplicado apenas ao conjunto de treino, evitando-se o *data leak*. O PCA permite **reduzir a dimensionalidade do espaço de atributos**, mitigar redundâncias e **melhorar a estabilidade numérica do modelo, especialmente diante de alta multicolinearidade**, preservando a maior parte da informação relevante.

Todo o fluxo foi encapsulado em um *pipeline*, prevenindo vazamento de dados e assegurando reproduzibilidade.

No notebook *jupyter*, são mostrados 3 blocos de treino e avaliação dos modelos (5, 6 e 7). O bloco 5, realiza treinamento e teste apenas com divisão treino/teste (*hold-out*), no qual não foi aplicado PCA. O bloco 6, realiza validação cruzada estratificada (*K-Fold*, $k=10$), no qual também não foi aplicado o PCA. O bloco 7, realiza a validação cruzada estratificada com PCA, mantendo 95% da variância explicada.

Tal procedimento foi realizado para fins didáticos, com o objetivo de verificar o comportamento dos modelos com *hold-out vs K-Fold* e analisar o impacto do uso do PCA.

5 Modelos utilizados

Foram comparados os seguintes algoritmos: Regressão Logística, *K-Nearest Neighbors* (*KNN*), *Random Forest*, *Naive Bayes*, *XGBoost*, *Rede Neural* e *SVM*. Foi feita uma seleção contendo modelos apresentados no curso, lineares e não-lineares, simples e complexos, de baixo e alto custo computacional. O intuito foi verificar o desempenho dessa gama diversificada de algoritmos e observar se alguma classe ou algum algoritmo específico se mostraria muito superior.

6 Resultados e interpretação dos dados

Os modelos foram treinados de três formas, conforme mostrado nos itens 5, 6 e 7 do *notebook jupyter*:

- O bloco 5, realiza treinamento e teste apenas com divisão treino/teste (hold-out). Foi utilizado 80% da amostra pra treino e 20% da amostra para teste;
- O bloco 6, realiza validação cruzada estratificada com *K-Fold*. Foi utilizado o k=10;
- O bloco 7, realiza a validação cruzada estratificada com *K-Fold*, k=10, e aplicado o PCA, mantendo 95% da variância explicada.

Os resultados obtidos encontram-se nas figuras 1 a 3 mostradas abaixo.

	Accuracy	Precision	Recall	F1-score	Balanced_Accuracy
LogisticRegression	0.982456	1.000000	0.952381	0.975610	0.976190
NeuralNetwork (limiar 0.4)	0.982456	1.000000	0.952381	0.975610	0.976190
SVM	0.982456	1.000000	0.952381	0.975610	0.976190
XGBoost	0.973684	1.000000	0.928571	0.962963	0.964286
RandomForest	0.973684	1.000000	0.928571	0.962963	0.964286
KNeighborsClassifier (k=5)	0.956140	0.974359	0.904762	0.938272	0.945437
NaiveBayes	0.921053	0.923077	0.857143	0.888889	0.907738

Figura 1 – Desempenho dos modelos no Hold-Out.

K-fold Cross-Validation Results:					
	Accuracy	Precision	Recall	F1-score	Balanced_Accuracy
SVM_CV	0.978947	0.977866	0.966667	0.971378	0.976349
NeuralNetwork_CV (limiar 0.4)	0.975439	0.973715	0.962121	0.966571	0.972648
LogisticRegression_CV	0.978947	0.991107	0.952597	0.970425	0.973481
XGBoost_CV	0.957863	0.955178	0.933983	0.942637	0.952983
RandomForest_CV	0.956140	0.949114	0.933550	0.939783	0.951378
KNeighborsClassifier_CV (k=5)	0.970144	0.990455	0.929004	0.957883	0.961724
NaiveBayes_CV	0.931548	0.925040	0.895671	0.906102	0.924145

Figura 2 – Desempenho dos modelos utilizando Validação Cruzada tipo K-Fold, k=10.

K-fold Cross-Validation + PCA Results:					
	Accuracy	Precision	Recall	F1-score	Balanced_Accuracy
LogisticRegression_CV_PCA	0.980702	0.986561	0.962121	0.973336	0.976815
NeuralNetwork_CV_PCA (limiar 0.4)	0.977193	0.978261	0.962121	0.968995	0.973997
SVM_CV_PCA	0.977162	0.977866	0.961905	0.968939	0.973968
XGBoost_CV_PCA	0.963158	0.964501	0.938095	0.949050	0.957817
RandomForest_CV_PCA	0.947368	0.936265	0.928788	0.929514	0.943481
KNeighborsClassifier_CV_PCA (k=5)	0.963127	0.977955	0.924242	0.948356	0.955137
NaiveBayes_CV_PCA	0.917481	0.914492	0.862121	0.884150	0.905981

Figura 3 – Desempenho dos modelos utilizando PCA (95%) e Validação Cruzada tipo K-Fold, k=10.

Considerando o contexto médico do problema, a métrica priorizada foi o Recall¹ (**Sensibilidade**), uma vez que o erro de maior impacto clínico é o Falso Negativo, isto é, classificar um tumor maligno como benigno.

Os resultados experimentais indicaram que:

- **Regressão Logística:** com PCA e no *Hold-Out* apresentou os maiores valores de *Recall* e *F1-Score* entre os modelos avaliados, demonstrando elevada capacidade de identificar corretamente tumores malignos;

¹ Recall = TP / (TP + FN)

- **SVM:** apresentou o melhor *Recall* no *Hold-Out*, na validação cruzada e o terceiro melhor *Recall* com PCA, com desempenho muito próximo ao da Regressão Logística, porém com menor interpretabilidade;
- **Redes Neurais:** alcançou bons resultados (*Recall* > 0,95 e *F1 – Score*>0,95), mas à custa de maior complexidade e menor transparência no processo decisório;
- **XGBoost:** alcançou bons resultados (*Recall* > 0,92 e *F1 – Score*>0,94);
- **Random Forest:** alcançou bons resultados (*Recall* > 0,92 e *F1 – Score*>0,92); e
- **KNN e Naive Bayes:** apresentaram desempenho inferior, especialmente em *Recall*, tornando-os menos adequados para aplicações médicas sensíveis ao erro.

A exceção do *Naive Bayes*, que apresentou *Recall* em todos os cenários inferior a 0,9, e o KNN, que apresentou no cenário *Hold-out Recall* próximo de 0,9, os demais modelos apresentaram bons resultados e, em certa medida, pode-se considerar bem próximos ou equivalentes.

Para fins de escolha, elegeu-se a Regressão Logística com aplicação do PCA para modelo de produção pelos seguintes motivos:

- A Regressão Logística manteve desempenho elevado e estável nos três cenários avaliados, com destaque para os resultados obtidos quando combinada com PCA. Ou seja, possui um alto poder preditivo;
- A multicolinearidade das features é tratada com o PCA, mantendo a estabilidade do modelo;
- Há redução de atributos e menor custo computacional, uma vez que o PCA e a Regressão Logística são transformações lineares, portanto, bastante simples computacionalmente de aplicar com o modelo treinado (e até mesmo para o treinamento);
- A interpretabilidade global (algo bastante desejado na área de saúde) é possível com a combinação de PCA com a Regressão Logística.

6.1 Otimização de Hiperparâmetros

A Regressão Logística modela a probabilidade condicional da classe positiva segundo a função sigmoide:

$$P(y = 1 | x) = 1 / (1 + e^{-(\beta_0 + \beta_1x_1 + \dots + \beta_nx_n)})$$

O modelo de Regressão Logística da biblioteca *scikit-learn* (*LogisticRegression*) possui diversos parâmetros, tais como: *C* (força da regularização), *class_weight* (ponderação das classes), *max_iter* (número máximo de iterações), *tol* (tolerância de convergência), *penalty* (termo de regularização) e *solver* (algoritmo de otimização).

Foram estabelecidos os seguintes parâmetros para o modelo: *max_iter*=1000000 , *tol* = 1e-9, *penalty* = 'l2', *solver* = 'lbfgs'. O *max_iter*, *tol* e o *solver* foram escolhidos por serem razoáveis para uma boa convergência. O *penalty* l2 foi escolhido por manter todas as variáveis no modelo.

Para os parâmetros C e class_weight foi realizada a otimização de hiperparâmetros por meio do GridSearchCV. Como resultado, foi obtido *C*= 0,23 e *Class_weight* = 'balanced'.

6.2 Produção do modelo final e interpretação

Para a produção do modelo final, foi utilizado o seguinte *pipeline*:

1. Padronização dos dados (*StandardScaler*);
2. Redução de dimensionalidade (PCA, 95%);
3. Classificação com Regressão Logística otimizada.

No treinamento deste modelo final foi utilizado **todo o conjunto de dados disponível** garantindo que o modelo aproveite ao máximo as informações presentes na base. Isto não é um erro teórico, pois não se está mais avaliando o modelo, e sim, a prática recomendada, pois não há razão em desperdiçar informações disponíveis.

Embora o PCA reduza a dimensionalidade dos dados, **a interpretação dos coeficientes do modelo continua sendo possível*** pois o PCA é uma **transformação linear**.

A Regressão Logística é ajustada sobre as componentes principais. No entanto, como cada componente é uma combinação linear das variáveis originais, é possível **reconstruir os coeficientes no espaço original**. Para isto, basta utilizar a seguinte equação:

$$\beta_{\text{original}} = \text{components}^T \beta_{\text{pca}}$$

Em que:

- components é a matriz de componentes principais;
- β_{pca} são os coeficientes da Regressão Logística no espaço do PCA;
- β_{original} são os coeficientes da Regressão Logística no espaço original.

A figura 4 mostra os nove maiores valores absolutos dos coeficientes beta da Regressão Logística final.

	feature	coeficiente	coef_abs
21	texture_worst	0.715859	0.715859
13	area_se	0.673979	0.673979
24	smoothness_worst	0.660349	0.660349
1	texture_mean	0.626664	0.626664
23	area_worst	0.616844	0.616844
10	radius_se	0.607848	0.607848
20	radius_worst	0.587137	0.587137
22	perimeter_worst	0.577899	0.577899
19	fractal_dimension_se	-0.575800	0.575800

Figura 4 – Valores dos coeficientes beta da Regressão Logística final.

Para a interpretação dos coeficientes, deve-se lembrar que **coeficientes positivos aumentam a probabilidade de classificação como maligno**. Por sua vez, coeficientes negativos aumentam a probabilidade de classificação como benigno. Quanto maior o valor absoluto, maior a influência da feature.

Assim, as variáveis mais relevantes foram: *texture_worst*, *area_se* e *smoothness_worst*.

Essas features estão associadas a textura e área, conforme esperado, pois quanto mais irregular e maior o tumor, mais chance de ele ser maligno. Desta forma, verifica-se que o modelo utiliza corretamente os preditores, reforçando o que já se conhece de tumores.

Apesar do uso de SHAP não ser o mais usual para Regressão Logística (pois esta já possui coeficientes diretamente interpretáveis), foi utilizado por fins didáticos, de representação visual e de comparação. Facilitando, assim, a análise e a comunicação dos resultados.

Devido à presença do PCA no pipeline, foi necessário realizar **adaptações em relação ao uso padrão do SHAP**. Em particular, os coeficientes do modelo foram reconstruídos no espaço das variáveis originais, explorando o fato de que tanto o PCA quanto a Regressão Logística são transformações lineares. Essa reconstrução permitiu aplicar o SHAP sobre um modelo linear equivalente no espaço original das features.

Os gráficos SHAP tornam visualmente evidente a distinção entre variáveis com **coeficientes positivos e negativos**. Observa-se na figura 5 que, para a maioria das variáveis, valores mais elevados estão associados a uma maior probabilidade de classificação como maligno, o que é consistente com o conhecimento clínico do problema. **Tumores malignos tendem a apresentar maior crescimento, maior área e maior irregularidade, refletindo-se diretamente nas variáveis analisadas.**

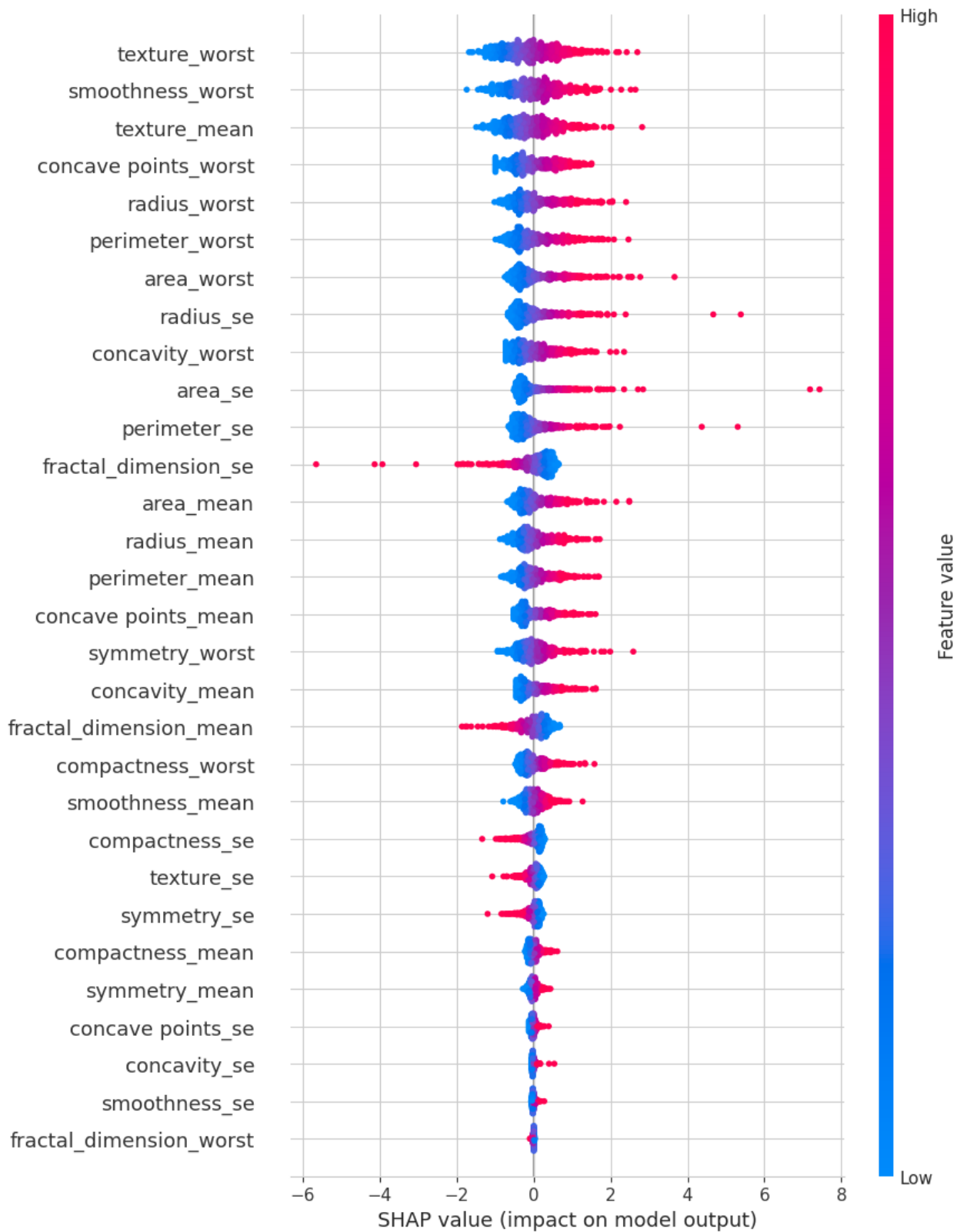


Figura 5 – SHAP do modelo de Regressão Logística final.

7 Considerações Finais e Aplicabilidade Prática

Este trabalho teve como objetivo desenvolver e avaliar um modelo de classificação para diagnóstico de câncer de mama, utilizando técnicas de aprendizado de máquina aliadas a boas práticas de pré-processamento, validação e interpretabilidade.

A solução adotada combinou padronização dos dados, redução de dimensionalidade via PCA e Regressão Logística com hiperparâmetros otimizados, resultando em um modelo estatisticamente consistente, computacionalmente eficiente e adequado ao contexto médico analisado.

A Regressão Logística foi escolhida por sua simplicidade, robustez e capacidade de interpretação.

O uso do PCA permitiu reduzir a dimensionalidade do problema, minimizando redundâncias e multicolinearidade entre variáveis, além de contribuir para a estabilidade do modelo.

Apesar da aplicação do PCA, foi possível recuperar a interpretabilidade das variáveis originais por meio da reconstrução dos coeficientes, explorando o fato de que o PCA é uma transformação linear. Isso possibilitou identificar quais características clínicas mais influenciam a classificação.

O modelo final pode ser aplicado como **ferramenta de apoio à decisão**, auxiliando profissionais de saúde na análise de exames e na identificação de casos com maior probabilidade de malignidade.

Suas principais vantagens práticas incluem:

- Baixo custo computacional;
- Facilidade de integração em sistemas existentes;
- Respostas rápidas para novos dados;
- Capacidade de explicar o comportamento do modelo, fator essencial em ambientes clínicos.

Os resultados obtidos demonstram que o modelo proposto é tecnicamente sólido e apresenta elevado potencial como ferramenta de apoio à decisão médica. Ressalta-se, entretanto, que sua utilização deve ocorrer exclusivamente como suporte ao diagnóstico, cabendo ao profissional de saúde a decisão final.

Entre as limitações do estudo, destacam-se o uso de um único banco de dados e a ausência de validação externa em dados clínicos reais. Estudos futuros podem incorporar novos conjuntos de dados, modelos mais complexos e técnicas adicionais de explicabilidade, ampliando a robustez e a generalização da solução.

Em síntese, o trabalho atende plenamente aos requisitos do desafio proposto, demonstrando aplicação consistente de fundamentos de *Machine Learning*, análise crítica dos resultados e alinhamento com princípios éticos e clínicos.

FIAP

